

POLİTEKNİK DERGİSİ

JOURNAL of POLYTECHNIC

ISSN: 1302-0900 (PRINT), ISSN: 2147-9429 (ONLINE)

URL: <http://dergipark.org.tr/politeknik>



Agrega türünün geopolimer betonun yüksek sıcaklık direğine etkisi

The effect of aggregate type on geopolymers concrete high temperature resistance

Yazarlar (Authors): Adil GÜLTEKİN¹, Hojjat HOSSEINNEZHAD², Kambiz RAMYAR³

ORCID¹: 0000-0002-5267-5312

ORCID²: 0000-0002-9846-2435

ORCID³: 0000-0003-2200-2691

To cite to this article: Gültekin A., Hosseinezhad H. ve Ramyar K., “Agrega türünün geopolimer betonun yüksek sıcaklık direğine etkisi”, *Journal of Polytechnic*, 26(2):913-921, (2023).

Bu makaleye şu şekilde atıfta bulunabilirsiniz: Gültekin A., Hosseinezhad H. ve Ramyar K., “Agrega türünün geopolimer betonun yüksek sıcaklık direğine etkisi”, *Politeknik Dergisi*, 26(2):913-921, (2023).

Erisim linki (To link to this article): <http://dergipark.org.tr/politeknik/archive>

DOI: 10.2339/politeknik.949657

Agrega Türünün Geopolimer Betonun Yüksek Sıcaklık Direncine Etkisi

The Effect of Aggregate Type on Geopolymer Concrete High Temperature Resistance

Önemli noktalar (Highlights)

- ❖ Geopolimer beton üretiminde bazalt, kireçtaşı, dere ve cüruf agregaları kullanılmıştır./Basalt, limestone, river and slag aggregates were used in the production of geopolymers concrete.
- ❖ Yüksek sıcaklık etkisindeki geopolimer betonlarda, dere agregasının daha avantajlı olduğu görülmüştür./River aggregate was found to be more advantageous in geopolymers exposed to high temperature.

Grafik Özeti (Graphical Abstract)

Bu çalışmada 4 farklı agrega ile üretilen uçucu kül esaslı geopolimer betonların 600 ve 900°C etkisinden sonraki dayanım kayipları kıyaslanmıştır. / In this study, the strength losses of fly ash-based geopolymers produced with 4 different aggregates up to 600 and 900°C temperatures were compared.



Şekil. Deney sonrasında numuneler / **Figure.** Specimens after test

Amaç (Aim)

Bu çalışmanın amacı, farklı agregaların uçucu kül esaslı geopolimer betonların yüksek sıcaklık direncine etkisinin incelenmesidir./The aim of this study is to examine the effect of different aggregates on the high temperature resistance of fly ash-based geopolymers concretes.

Tasarım ve Yöntem (Design & Methodology)

Üretilen geopolimer betonlar 7.5 saat boyunca 600 veya 900°C etkisine maruz bırakıldıktan sonra basınç dayanımı kayipları tespit edilmiştir./The compressive strength losses of geopolymers concrete mixtures were determined after exposure to 600 and 900°C for 7.5 hours.

Özgülük (Originality)

4 farklı agrega kullanılarak üretilen geopolimer betonlarda, agrega türünün yüksek sıcaklık direncine etkisi incelenmiştir./The effect of four different types of aggregates on high temperature resistance of geopolymers concrete mixtures was investigated.

Bulgular (Findings)

Kireçtaşı, dere, bazalt ve elektrik ark cüruf agregası ile üretilen betonların basınç dayanımları 900°C etkisinden sonra %100, 32.9, 48.5 ve 53.6 azalmıştır./The compressive strength of geopolymers produced with limestone, natural river aggregate, basalt and electric arc slag aggregates decreased by 100, 32.9, 48.5 and 53.6%, respectively up to 900°C.

Sonuç (Conclusion)

Agrega tipinin geopolimer betonlarda yüksek sıcaklık direncini etkilediği görülmüştür./It has been observed that the aggregate type affects the high temperature resistance of geopolymers concretes.

Etik Standartların Beyanı (Declaration of Ethical Standards)

Bu makalenin yazarları çalışmalarında kullandıkları materyal ve yöntemlerin etik kurul izni ve/veya yasal-özel bir izin gerektirmediğini beyan ederler. / The authors of this article declare that the materials and methods used in this study do not require ethical committee permission and/or legal-special permission.

Agrega Türünün Geopolimer Betonun Yüksek Sıcaklık Direncine Etkisi

Araştırma Makalesi / Research Article

Adil GÜLTEKİN*, Hojjat HOSSEINNEZHAD, Kambiz RAMYAR

Ege Üniversitesi, Mühendislik Fakültesi, İnşaat Mühendisliği Bölümü, Türkiye

(Geliş/Received : 08.06.2021 ; Kabul/Accepted : 07.04.2022 ; Erken Görünüm/Early View : 25.06.2022)

ÖZ

Beton, dünyada en çok kullanılan yapı malzemesidir. Ancak çimento üretimi sırasında yüksek miktarda enerji tüketilmekte ve karbondioksit salımı yapılmaktadır. Çimentoya alternatif bağlayıcıların üretilmesi, uzun süredir üzerinde çalışılan bir konudur. Geopolimerler, çimentoya alternatif olma potansiyeli taşıyan malzemelerdir. Geopolimerlerin iyi bir yüksek sıcaklık direncine sahip oldukları bilinmektedir. Ancak hem geleneksel hem de geopolimer betonların yüksek sıcaklık dirençleri, kullanılan agreganın türü ve özelliklerinden önemli ölçüde etkilenmektedir. Bu çalışmada kireçtaşı, dere, bazalt ve cüruf agregaları kullanılarak üretilen geopolimer betonların 600 ve 900°C yüksek sıcaklık etkisine karşı dirençleri basınç dayanımı kayipları kıyaslanarak tespit edilmiştir. 900°C sıcaklık etkisinde, kireçtaşı ile üretilen geopolimer beton tamamen parçalanırken dere, bazalt ve cüruf agregaları ile üretilen betonların %32.9, 48.5 ve 53.6 oranında basınç dayanımı kaybına uğradıkları tespit edilmiştir.

Anahtar Kelimeler: Geopolimer, yüksek sıcaklık direnci, aggrega türü.

The Effect of Aggregate Type on Geopolymer Concrete High Temperature Resistance

ABSTRACT

Concrete is the most used building material in the world. However, during producing cement, a high amount of energy is consumed, and excessive carbon dioxide emissions are made. The production of alternative binders to the Portland cement has been studied for a long time. Geopolymers are materials that have the potential to be an alternative to the cement. It is well-known that geopolymers have a good high temperature resistance. However, the high temperature resistance of both conventional and geopolymers concretes is significantly affected by the type and properties of the aggregate. In this study, the resistance of geopolymers produced by using limestone, river, basalt and slag aggregates to 600 and 900°C temperatures was determined by comparing their compressive strength losses. The geopolymers concrete produced with limestone aggregate was completely decomposed up on exposure to 900°C. However, the counterpart concretes produced with river, basalt and slag aggregates lost 32.9, 48.5 and 53.6% of their compressive strength, respectively.

Keywords: Geopolymer, high temperature resistance, aggregate typ.

1. GİRİŞ (INTRODUCTION)

Portland çimentosu üretilirken hem hammaddelerin kalsinasyonu hem de fosil yakıtların kullanılması neticesinde doğaya yüksek miktarlarda karbondioksit salımı yapılır. Beton endüstrisi, sera gazı salımının önemli miktarından sorumludur [1]. Araştırmalar 1 ton Portland çimentosu üretimi için doğaya yaklaşık olarak 1 ton karbondioksit salımı yapıldığını ortaya koymuştur [2]. Türkiye Çimento Sanayicileri Birliği'nin istatistiklerine göre 2018, 2019 ve 2020 yıllarında ülkemizde yaklaşık olarak 72.5, 57.0 ve 72.3 milyon ton çimento üretimi yapılmıştır [3]. IEA'nın [4] tahminine göre ise 2019 yılında dünyada yaklaşık olarak 4.2 milyar ton çimento üretimi gerçekleşmiştir. Bu rakamlar, çimento üretiminin vermiş olduğu global zararın boyutunu göz önüne sermektedir.

90'lı yılların başlarında sürdürülebilirlik kavramı tüm mühendislik kollarında önemini arttırmıştır. Bu nedenle başta çimentolu malzemeler olmak üzere, yapı malzemesi sektöründe hem doğal hem de doğal kaynakları koruma amaçlı çalışmaların sayısı artmıştır [5]. Çimento üretiminin neden olduğu zararları azaltmak adına puzolanların çimentoya ikame olarak kullanılması veya hiç çimento içermeyen alternatif bağlayıcıların değerlendirilmesi bu çalışmalarдан bazılarıdır [1]. Geopolimerler daha sürdürülebilir beton üretimi için iyi bir alternatif olma potansiyeli taşımaktadır [6]. Geopolimerlerin düşük üretim sıcaklığı, düşük enerji tüketimi, düşük karbondioksit salımı, hızlı dayanım kazanma, asit ve yüksek sıcaklığa karşı iyi direnç gösterme gibi avantajları bulunmaktadır [7]. Geleneksel beton yerine geopolimerlerin kullanılması, bir yandan çimento üretiminin doğaya vermiş olduğu zararı, diğer yandan da uçucu kül gibi sanayi atıklarının sebep olduğu kirliliği azaltacaktır [8]. Ayrıca geopolimerlerin ekonomik yönü de dikkat çekmektedir. Lloyd ve Rangan'ın [9] yapmış olduğu çalışma, uçucu kül esaslı

*Sorumlu Yazar (Corresponding Author)
e-posta : adilgultekin05@gmail.com

geopolimer betonun, geleneksel betondan %10-30 oranında daha ucuz imal edilmesinin mümkün olduğunu ortaya koymuştur.

Yangın, lav ve nükleer erime gibi farklı etkenlerden kaynaklanan yüksek sıcaklık (YS)ların, betonun fiziksel ve mekanik özelikleri üzerinde önemli derecede olumsuz etkisi olduğu bilinmektedir [10]. Yapılan araştırmalar, geopolimer betonların geleneksel betondan daha iyi bir YS direncine sahip olduğunu ortaya koymuştur. Ancak her ne kadar geopolimer hamurların ve bir noktaya kadar da geopolimer harçlarının YS dirençleri iyi olsa da geleneksel agregaların kullanılması, üretilen geopolimer betonların YS direncini azaltmaktadır [11]. Agregalar, beton hacminin %60-80'ini oluşturmaktadır. Agregaların, betonun termal özelikleri üzerinde çok önemli etkiye sahiptir [12]. Agreganın mineralojik kompozisyonu ve gözenekliliğinin betonun YS direncine önemli etkisi olduğu bilinmektedir. Agreganın tane boyutu, geçirimsizliği, rutubet içeriği ve ısınma hızına bağlı olarak, agrega tanesinin kendisi yüksek sıcaklığa karşı dirensiz olabilmekte ve betonda parça atmaya yol açabilmektedir. Bu sebeple agrega türü, betonun yanın direnci üzerinde önemli derecede etkiye sahiptir [13].

Betonun yüksek sıcaklığa direncini belirlemek için uygulanan deneylerin sonucu, betonun içerdiği rutubet miktarı ve agrega özellikleri ile etkiyen gerilme seviyesi ve etki süresi gibi çok sayıda ve aynı zamanda etkili olan faktöre bağlı olarak değişebilmektedir [14]. Betonun YS direncini belirlemek için uygulanan deney yönteminin detayları, deney sonuçlarını etkileyen bir faktör olmasına karşın çoğu çalışmada deney detayları yeterli ölçüde açıklanmamaktadır. Bu nedenle, literatürdeki sonuçlar oldukça farklı hatta çelişkili yorumlara neden olmaktadır. Örneğin, Neville [14], 600°C sıcaklık etkisinde kalan geleneksel betonun, arta kalan basınç dayanımının, orijinal dayanımının %38'i ile %69'u arasındaki geniş bir bantta değiştğini belirtmiştir.

Granit ve kumtaşı gibi silissi agregalardaki kuvars, yaklaşık olarak 570°C'de β -kuvarsa dönüşmektedir. Bu dönüşüm sırasında kuvarsın ani olarak %0.85 mertebesinde hacim genleşmesi gösterdiği ve bunun çeşitli sorunlara yol açtığı da bilinmektedir [13]. Kalsiton yaklaşık olarak 870°C ve dolomitin ise yaklaşık olarak 800°C'de yaşamış oldukları dekompozisyon da agregaların kimyasal bozulmasına örnek olarak gösterilebilir [15]. Agreganın olası faz dönüşümleri ve termal bozulmasına ek olarak, mineralojisi, agrega ile matris arasındaki farklı termal genleşme ve arayüzün dayanımını belirlediğinden betonun yanına karşı direncini etkilemektedir [13].

Geopolimer beton üretiminde kullanılan farklı türdeki agregaların, geopolimer betonların YS direncine olan etkisi ile ilgili literatürde az sayıda çalışma bulunmaktadır. Şahin vd., [16] farklı kumlar kullanılarak üretilen yüksek fırın cürufu ve metakaolin esaslı geopolimer harçlarının YS davranışını incelemiştir. Bu kapsamda RILEM kumu, atık betondan elde edilmiş kum, nehir kumu, kumtaşı kumu, silis kumu ve bazalt

kumu kullanılmıştır. 200, 400, 600 ve 800°C'de yapılan YS direnci deneyleri sonrasında, bazalt kumu ile üretilen harçlardan arta kalan basınç dayanımı değerlerinin, diğerlerinden daha yüksek olduğu tespit edilmiştir. 800°C sıcaklık etkisinden sonra atık betondan elde edilen kum kullanılarak üretilen harç tamamen parçalanırken, bazalt kumu kullanılarak üretilen harçın 26.3 MPa gibi kayda değer bir basınç dayanımına sahip olduğu görülmüştür. Silis kumu ile üretilen harç yaklaşık olarak 20 MPa dayanımı sahipken dere kumu ve kumtaşı içeren harçlar 15 MPa'dan, RILEM kumu içeren harç ise 10 MPa'dan daha düşük dayanım göstermiştir. Kong ve Sanjayan'ın [17] çalışmasında ise F sınıfı uçucu kül, sodyum silikat ve potasyum hidroksit kullanılarak üretilen geopolimer betonların YS direnci incelenmiştir. Çalışmada, iri agrega olarak cüruf ve bazalt, ince agrega olarak ise nehir kumu kullanılmıştır. 800°C sıcaklığın etkisi ile bazalt agrega ile hazırlanan geopolimer betonun basınç dayanımı 70.5 MPa'dan 29.3 MPa'a inerken (%58.4 azalış), cüruf ile hazırlanan betonun dayanımı 61.8 MPa'dan 21.9 MPa'a düşmüştür (%64.6 azalış). Araştırmacılar, bu farklı agregaların termal genleşmelerinin farklı olmasından kaynaklandığını belirtmiştir.

Agrega türünün geopolimer betonların YS direncine etkisi ile ilgili az sayıda çalışma bulunması, YS direnci konusunda geleneksel betona kıyasla avantajlı olduğu bilinen geopolimerlerin bu konudaki avantajlarının anlaşılmasıının önüne geçmiştir. Bu çalışmada; kireçtaşısı, dere, bazalt ve elektrik ark cüruf agregası kullanılarak üretilen geopolimer betonların YS etkisi sonrasında basınç dayanımları incelenmiş ve agregaların YS direncine etkisi araştırılmıştır. Çalışma iki aşamada gerçekleştirilmiştir. Öncelikle farklı Ms oranları (aktivatör çözeltisindeki SiO₂'nın Na₂O'ya ağırlıkça oranı) ve farklı Na₂O yüzdesi (aktivatör çözeltisindeki Na₂O'nun uçucu kule ağırlıkça oranı) kullanılarak geopolimer harçları üretilmiştir. Bu harçların farklı kür koşullarındaki basınç dayanımları incelenmiş ve en yüksek basınç dayanımının elde edildiği karışım ve kür rejimi tespit edilmiştir. Çalışmanın devamında bu bilgiler kullanılarak üretilen geopolimer betonların YS dirençleri araştırılmıştır.

2. MATERİYAL VE METOT (MATERIAL AND METHOD)

2.1. Materyal (Materials)

2.1.1. Uçucu kül (Fly ash)

Çalışmada alüminosilikat olarak İzmir/Aliağa'da faaliyet gösteren İzdemir Enerji Termik Santrali'nden temin edilen F sınıfı uçucu kül kullanılmıştır. Uçucu kule ait kimyasal bileşim ve bazı fiziksel özellikler Çizelge 1'de sunulmuştur.

Çizelge 1. Uçucu külé ait bazı özellikler / Some properties of fly ash

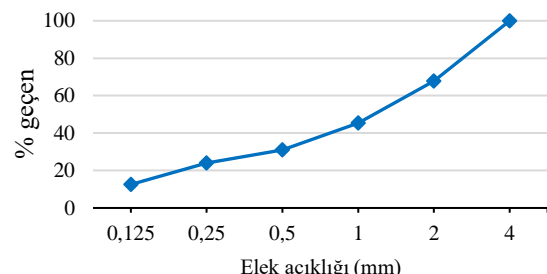
Bileşen	%	Özellik	Değer
SiO ₂	49.12	45 µm elek bakiyesi	%23.12
Al ₂ O ₃	22.05	Hacim genleşmesi	1 mm
Fe ₂ O ₃	5.42	Serbest kireç	%0.08
SiO ₂ + Al ₂ O ₃ + Fe ₂ O ₃	76.6	Özgül ağırlık	2.18
CaO	2.82	Dayanım aktivite indeksi	28 gün %76.0
P ₂ O ₅	0.29		90 gün %86.2
MgO	1.69		
SO ₃	0.14		
Na ₂ O	1.21		
K ₂ O	2.17		
TiO ₂	0.68		
Cl	0.1		
Kızdırma kaybı	5.8		

2.1.2. Aktivatör çözeltisi (Activator solution)

Aktivatör çözeltisinin hazırlanmasında yerel firmalardan temin edilen, %28.22 SiO₂, %11.32 Na₂O ve %60.46 H₂O içeren çözelti şeklindeki sodyum silikat ile %98 oranında saf olan pelet şeklindeki sodyum hidroksit kullanılmıştır.

2.1.3. Agrega (Aggregate)

Harç karışımlarının hazırlanmasında özgül ağırlığı 2.70, su emme kapasitesi %1.2 olan kireçtaşısı kırma kum kullanılmış olup kuma ait gradasyon Şekil 1'de sunulmuştur. Geopolimer betonların hazırlanmasında ise en büyük tane büyülüklüğü 16 mm olan kireçtaşısı kırma agrega, dere agregası, bazalt kırma agrega ve cüruf agregası kullanılmıştır. Bazalt agrega, İzmir/Aliağa; kireçtaşısı agrega, İzmir/Kemalpaşa bölgelerinde faaliyet gösteren taş ocağı işletmelerinden alınmıştır. Dere agregası İzmir merkezli bir firmadan temin edilmiş olup Toros Dağları'ndaki derelerde oluşmuştur. Cüruf agregası ise, demir-çelik sektöründe faaliyet gösteren İzmir merkezli bir firmada atık ürün olarak ortaya çıkmaktadır. Kullanılan agregaların su emme kapasiteleri ve özgül ağırlıkları Çizelge 2'de gösterilmiştir. Agregalar, çeşitli açıklıktaki eleklerden elenerek ayrı ayrı depolanmış (0-4, 4-8 ve 8-16 mm elek aralıklarında) ve birbirlerine yakın gradasyona sahip olacak şekilde boyut dağılımları ayarlanmıştır. Beton karışımının oluşturulmasında kullanılan agregaların tane boyutları Şekil 2'de gösterilen mavi bant içerisinde kalmaktadır.

**Şekil 1.** Harç karışımında kullanılan kuma ait gradasyon / Gradation of sand used in mortar mixtures

2.1.4. Su (Water)

Harç ve beton karışımlarının hazırlanmasında İzmir şehir şebekesi suyu kullanılmıştır.

2.2. Metot (Method)

2.2.1. Harç karışımının hazırlanması (Preparation of mortar mixtures)

Pelet şeklindeki sodyum hidroksit, sodyum silikat çözeltisi içinde karıştırma yöntemi ile çözürtlerek 1.25, 1.50, 1.75 ve 2.00 Ms oranlarında aktivatör çözeltileri elde edilmiştir. Hazırlanan çözelti 24 saat dinlendirildikten sonra kullanılmıştır. Harç karışımı hazırlanırken hedef yayılma çapı 19 ± 0.5 cm, kum/uçucu kül oranı 2.7, aktivatördeki toplam Na₂O'nun uçucu kül ağırlıkça oranı ise %6, 9 ve 12 olarak seçilmiştir. Hedef yayılma çapının sağlanabilmesi için bazı karışımlara farklı miktarlarda su ilavesi yapılmıştır.

Harç karışımı, laboratuvar tipi harç mikserinde hazırlanmıştır. Sırası ile kum, uçucu kül, aktivatör ve karışımında var ise su, karıştırıcıya koyulmuştur. Karıştırıcı 90 saniye düşük hızda çalıştırıldıktan sonra durdurulmuş, kabin cepherine yapışan malzemeler bir spatula yardımı ile siyrilmiş ve mikser 90 saniye daha, düşük hızda çalıştırılmıştır. Harç karışımı oluşturulduktan sonra TS EN 459-2 [18] Standartı'na uygun olarak yayılma çapları tespit edilmiştir. Harçlar iki tabakada, her tabaka 10 defa tokmakla sıkıştırılarak kesik koniye yerleştirilmiş, sonrasında koni çekilerek 15 saniyede 15 düşüş yapılmıştır. Birbirine dik iki doğrultudan yayılma çapları ölçülmüş ve ortalamaları rapor edilmiştir. Karışım, 50 mm ayrıtlı küp kalıplara 2 tabakada yerleştirilmiş, her tabaka 25 defa sarsma tablasından düşürülmüş, devamında numunelerin yüzeyleri bir spatula ile düzeltilmiştir. Hazırlanan numuneler etüv veya ortam kürlemesine tabi tutulmuştur. Laboratuvar ortamında ($\sim 25^\circ\text{C}$, $\sim 50\%$ bağıl nem) kürlenen numuneler dökümden sonra 1 gün ortam koşullarında bekletilmiş, devamında kalıplarından çıkartılarak 4 veya 179 gün daha ortam şartlarında kürlenmiştir. Etüvde kürlenen numuneler ise dökümden sonra herhangi bir süre bekletilmeksizin kalıpları ile birlikte laboratuvar tipi hava dolaşımı etüvde 45°C veya 60°C 'de, 3 veya 5 gün kürlenmiştir. Kür süresi sonunda numuneler etüvden alınarak laboratuvar ortamında bekletilmiş, ortam sıcaklığına soğulan numuneler kalıplarından çıkartıldıkten hemen sonra basınç dayanımı

deneyine tabi tutulmuştur. Harç karışımına ait malzeme miktarları ile yayılma çapları Çizelge 3'te gösterilmiştir. Karışım Ms oranı ve Na₂O/uçucu kül oranına göre kodlanmıştır. Örneğin, 1.25-6 ile gösterilen karışımın, Ms oranı 1.25, Na₂O/uçucu kül oranı ise %6'dır. 1.75-12 ve 2.00-12 kodlu karışımlarda aktivatör miktarı fazla olduğundan ilave su eklenmeksızın hedef yayılma çapından daha yüksek yayılma çapları elde edilmiştir.

Çizelge 2. Beton karışımlarında kullanılan agregaların özgül ağırlıkları ve su emme kapasiteleri / Specific gravities and water absorption capacities of aggregates used in concrete mixtures

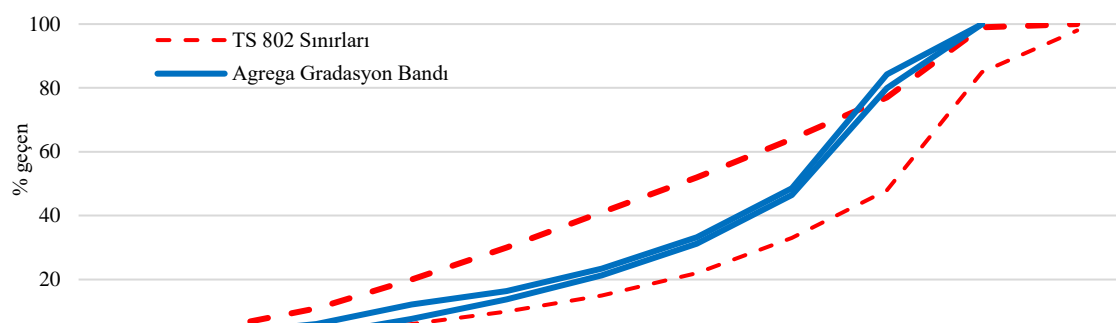
	Cüruf 0-4 mm	Cüruf 4-16 mm	Kireçtaşı 0-4 mm	Kireçtaşı 4-16 mm	Bazalt 0-4 mm	Bazalt 4-16 mm	Dere 0-4 mm	Dere 4-16 mm
Özgül ağırlık	3.45	3.44	2.70	2.65	2.80	2.77	2.71	2.68
Su emme kapasitesi (%)	7.60	1.68	1.20	0.80	0.65	0.45	0.50	0.20

2.2.2. Beton karışımlarının hazırlanması (Preparation of concrete mixtures)

Harç karışımlarında en yüksek basınç dayanımını veren 1.25 Ms ve %12 Na₂O oranlarının beton karışımlarında kullanılmasına karar verilmiştir. Beton karışımı, 50 litre kapasiteli dikey eksenli laboratuvar tipi mikserde hazırlanmıştır. Beton karışımı hazırlanırken hedef slump değeri 17 cm olarak seçilmiştir. Kireçtaşı, bazalt

ve dere agregası ile hazırlanan betonlarda sırası ile iri agrega, ince agrega ve uçucu kül miksere koyulmuş ve mikser 1 dakika çalıştırılmıştır. Sonrasında aktivatör çözeltisi, mikser çalışırken yaklaşık olarak 45 saniyede ilave edilmiş ve karıştırma işlemi 2 dakika daha devam etmiştir. En son su, çalışan miksere yaklaşık olarak 45 saniyede eklenmiş ve suyun eklenmesinden sonra karışım 2 dakika daha karıştırılmıştır. Cüruf agregasının fazla su emmesi nedeniyle farklı bir karıştırma prosedürü uygulanmıştır. Öncelikle ince ve iri cüruf agregaları

karıştırıcıya koyulmuş, bu agregayı doygun yüzey kuru hale getirecek su eklendikten sonra mikser 5 dk. çalıştırılarak suyun agrega tarafından emilmesi sağlanmıştır. Devamında diğer aggregalara uygulanan karıştırma süre ve prosedürü ile beton karışımı elde edilmiştir. Karışım, 10 cm ayrıtlı küp kalıplara iki tabaka yerleştirilmiştir. Her tabaka 10 saniye boyunca iç vibratör kullanılarak sıkıştırılmıştır. Numuneler bekletilmeksızın etüve yerleştirilmiş ve 60°C'de 3 gün



Çizelge 3. Harç karışımlarına ait malzeme miktarları ve yayılma çapları / Mix proportions and flow diameters of mortar mixtures

Karışım	Na ₂ O (%)	Ms Oranı	Uçucu Kül (g)	Kum (g)	Aktivatör (g)	İlave su (g)	Yayılma çapı (cm)
1.25-6	6	1.25	450	1215	137.4	96	19.0
1.25-9	9	1.25	450	1215	206.1	45	19.5
1.25-12	12	1.25	450	1215	273.8	15	19.5
1.50-6	6	1.50	450	1215	157.9	80	18.5
1.50-9	9	1.50	450	1215	236.9	25	19.5
1.50-12	12	1.50	450	1215	314.8	-	19.0
1.75-6	6	1.75	450	1215	178.4	70	19.0
1.75-9	9	1.75	450	1215	267.6	15	19.5
1.75-12	12	1.75	450	1215	355.8	-	23.6
2.00-6	6	2.00	450	1215	198.9	55	19.0
2.00-9	9	2.00	450	1215	298.4	-	19.0
2.00-12	12	2.00	450	1215	396.8	-	25.0+

boyunca kürlenmişdir. Beton karışımımlarına ait malzeme miktarları, teorik birim hacim ağırlık (BHA) ve çökme değerleri Çizelge 4'te, gerçek karışım miktarları ve ölçülen BHA değerleri ise Çizelge 5'te gösterilmiştir. Karışımalar agrega türüne göre K (küreçtaşlı agregası içeren), D (dere agregası içeren), B (bazalt agregası içeren) ve C (cüruf agregası içeren) olarak gösterilmiştir. Betonların BHA'ları TS EN 12350-6 [19], çökme değerleri ise TS EN 12350-2 [20] standartı baz alınarak tespit edilmiştir.

2.2.3. Deneyler (Tests)

2.2.3.1. Basınç dayanımı deneyleri (Compressive strength tests)

Harç ve beton numunelerin basınç dayanımı deneyleri, 200 ton kapasiteli beton presinde gerçekleştirılmıştır. Harç numunelerin kırılmasında yükleme hızı 0.9 kN/s, beton numunelerin kırılmasında ise yükleme hızı 3.0 kN/s olarak alınmıştır.

2.2.3.2. Yüksek sıcaklık deneyleri (High temperature tests)

YS deneyleri 1175°C'ye ulaşabilen fırında gerçekleştirılmıştır. Fırının sıcaklık artış hızı 20°C/dk., hedef sıcaklıklar 600 ve 900°C ve hedef sıcaklıkta bekletme süresi, uzun süreli yakma etkisinin incelenmesi amacıyla 7.5 saat olarak seçilmiştir. 7.5 saatlik yakma süresinden sonra numunelerin oda sıcaklığına soğumaları beklenmiştir. Bu süreçte fırın kapağı kapalı tutulmuştur. Numuneler, oda sıcaklığına soğuduktan sonra fırının kapağı açılmış ve numuneler 24 saat daha bekletilmiştir. Devamında basınç dayanımı deneyi yapılmıştır.

3. BULGULAR VE TARTIŞMA (RESULTS AND DISCUSSION)

3.1. Geopolimer Harçların Basınç Dayanımları

(Compressive Strengths of Geopolymer Mortars)

Ortam koşullarında kürlenmiş harç karışımımlarına ait basınç dayanımları Şekil 3'te gösterilmiştir. Tüm Ms oranları ve Na₂O yüzdesleri ile hazırlanan karışımlarda, beklendiği gibi, 5 günlük ortam kürlemesinde düşük basınç dayanımları elde edilmiştir. Kür süresinin 180 güne çıkması ile basınç dayanımlarında da yükselme görülmüştür. Ortam kürlemesinde hem 5 hem de 180 gün için en yüksek basınç dayanımları 1.25 Ms oranı ve %9 Na₂O içeriğinde elde edilmiş, Ms oranının artması ile basınç dayanımlarında kademeli düşüşler görülmüştür. Aynı Ms oranında ise Na₂O yüzdesinin 6'dan 9'a artması ile basınç dayanımları yükselmiş, 9'dan 12'ye artması ile ise dayanımlar azalmıştır.

Etüvdé kürlenen numunelerin basınç dayanımları Şekil 4 ve 5'te sunulmuştur. Görüldüğü üzere kür sıcaklığının artışı ile basınç dayanımlarında ciddi artışlar olmuştur. Genel eğilim, aynı Ms oranı ile hazırlanan numunelerde Na₂O yüzdesinin artması ile basınç dayanımının artması şeklindedir. Aynı Na₂O yüzdesinde ise Ms oranı arttıkça dayanımın da genelde azaldığı görülmüştür.

SiO₂/Na₂O oranı, Ms oranı veya kullanılan sodyum silikat/sodyum hidroksit oranının geopolimer beton/harç veya hamurların basınç dayanımı üzerindeki etkisi birçok araştırmacı tarafından incelenmiştir. Cho vd., uçucu kül esaslı geopolimer hamurlar hakkındaki çalışmasında, sabit Ms oranında Na₂O yüzdesinin artışının basınç dayanımını artttığını tespit etmiştir. Bunun, Na₂O miktarının yükselmesi ile uçucu külün çözünürlüğünün artmasından kaynaklandığı belirtilmiştir. Araştırmacılar

Çizelge 4. Betonların teorik karışım oranları ve bazı özellikleri / Theoretical mix proportions and some properties of concrete mixtures

Karışım kodu	Malzeme miktarı (kg/m ³)							Teorik BHA kg/m ³	Çökme (cm)
	Uçucu Kül	Sodyum Silikat	Sodyum Hidroksit	İnce Agrega DYK	İri agrega DYK	İlavé Su			
K	344.9	183.5	26.7	830.2	993.9	9.1	2388.3	17.2	
C	332.7	177.1	25.7	1375.5	1014.8	6.8	2932.7	16.7	
B	361.4	192.4	27.9	820.9	1036.4	9.5	2448.5	17.1	
D	355.9	189.4	27.5	834.7	976.6	9.4	2393.5	17.3	

Çizelge 5. Betonların düzenlenmiş karışım oranları / Corrected mix proportions of concrete mixtures

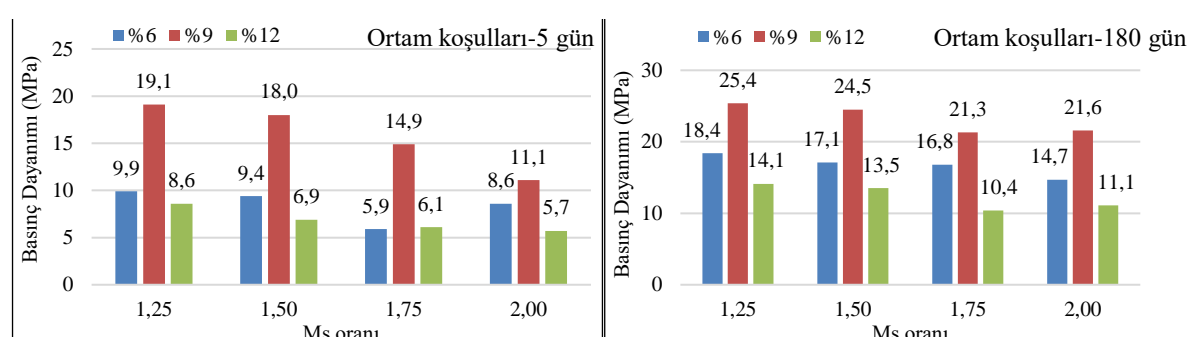
Karışım kodu	Malzeme miktarı (kg/m ³)							Taze BHA kg/m ³	Çökme (cm)
	Uçucu Kül	Sodyum Silikat	Sodyum Hidroksit	İnce Agrega DYK	İri agrega DYK	İlavé Su			
K	337.2	179.4	26.1	811.7	971.7	8.9	2335	17.2	
C	327.1	174.1	25.3	1352.2	997.6	6.6	2883	16.7	
B	346.3	184.3	26.8	786.5	993.0	9.1	2346	17.1	
D	354.6	188.8	27.4	831.8	973.1	9.4	2385	17.3	

sabit Na₂O yüzdesinde Ms oranının 0.8'den 1.4 ve 2.0'ye yükselmesi ile basınç dayanımının önce arttığını, sonra azaldığını gözlemlemiştir [21]. Bocullo vd., SiO₂/Na₂O oranındaki artış ile basınç dayanımında artış yaşandığını, ancak optimum bir değerden sonra dayanımın azaldığını belirtmiştir [22]. Morsy vd., ağırlıkça 0.5, 1.0, 1.5, 2.0 ve 2.5 sodyum silikat/sodyum hidroksit oranlarına sahip aktivatörler kullanarak hazırladığı uçucu kül esaslı geopolimer harçlarda, bu oranın artışı ile dayanımın önce arttığını optimum değerden sonra ise düşüse geçtiğini, optimum oranın ise 1 olduğunu raporlamıştır. Araştırmacılar, aktivatör çözeltisinde bulunan SiO₂ miktarındaki artışın, suyun buharlaşmasını ve geopolimer yapısının oluşmasını zorlaştırdığını da belirtmiştir [7]. Şekil 4 ve Şekil 5 incelendiğinde bu çalışmalarla benzer şekilde Ms oranının arttıkça (SiO₂ oranı yükseldikçe) dayanımın azaldığı görülmektedir. Saloma vd., 2.50, 2.75, 3.00, 3.25; Doğan-Sağlamtimur vd. ise 1.0, 1.5, 2.0, 2.5 ve 3.0 sodyum silikat/sodyum hidroksit oranları ile üretikleri geopolimer harçlarda, basınç dayanımlarının optimum bir sodyum silikat/sodyum hidroksit oranına kadar arttığını, bu değerden sonra ise düşüse geçtiğini gözlemlemiştir [23, 24]. Saloma vd., optimum değerin 2.75, Doğan-Sağlamtimur vd. ise 2 olduğunu belirtmiştir. Bu araştırmaların tamamının farklı kimyasal, fiziksel, morfolojik özelikteki alüminosilikatlar, farklı niteliklerdeki aktivatörler ve farklı kürleme şartlarında yapıldığı dikkate alındığında, her çalışmada farklı optimum oranların bulunmasının şaşırtıcı olmadığı anlaşılmaktadır. Ancak bu

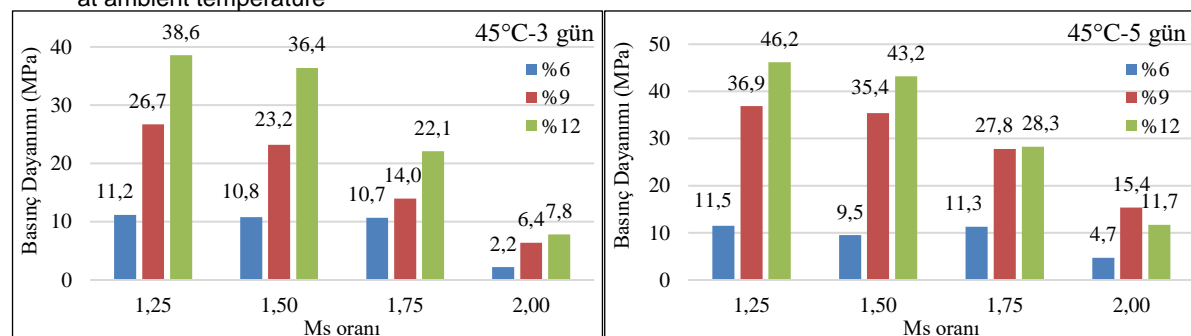
farklılıkların arasında, genel eğilimlerin benzer olduğu görülmektedir. Sunulan bu çalışmada da etüv kürlemesi ile üretilen harçlarda aynı Na₂O yüzdesinde Ms oranı arttıkça genel eğilim basınç dayanımlarının azalması şeklindeken, aynı Ms oranında Na₂O yüzdesi arttıkça basınç dayanımları genelde yükselmiştir. En yüksek basınç dayanımları tüm etüv kürü rejimlerinde, 1.25 Ms oranı ve %12 Na₂O miktarında elde edilmiştir. Beton deneyleri için bu sebeple 1.25 Ms oranı - %12 Na₂O miktarı ile 60°C-3 gün kürleme seçenekleri seçilmiştir.

3.2. Geopolimer Betonların Yüksek Sıcaklık Direnci (High Temperature Resistance of Geopolymer Concretes)

Kontrol betonları ile yüksek sıcaklığa maruz bırakılan geopolimer betonların basınç dayanımları Şekil 6'da, bağıl basınç dayanımları ise Şekil 7'de gösterilmiştir. 600 ve 900°C YS etkisi ile bekleniği üzere basınç dayanımlarında azalışlar görülmüştür. Sıcaklığın 600°C'ye yükselmesi ile kireçtaşı, dere, bazalt ve cüruf ile hazırlanan betonlar sırası ile %56.9, %31.1, %54.1 ve %37.4 oranlarında dayanım kaybetmiştir. Sıcaklığın 900°C'ye yükselmesi, dere ve bazalt agregası ile hazırlanan betonların dayanımlarında ciddi bir değişiklik yaratmazken, sıcaklığın yükselmesiyle cüruf agregası kullanılarak üretilen betonun dayanımı %25.8 oranında azalmıştır. Kireçtaşı ile hazırlanan beton ise Şekil 8'de gösterildiği üzere soğuduktan sonra etüv içerisinde parçalanmış ve basınç dayanımı deneyi yapılamamıştır. Bunun muhtemel nedeninin kireçtaşının



Şekil 3. Ortam sıcaklığında kürlenen numunelerin basınç dayanımları / Compressive strength of specimens cured at ambient temperature

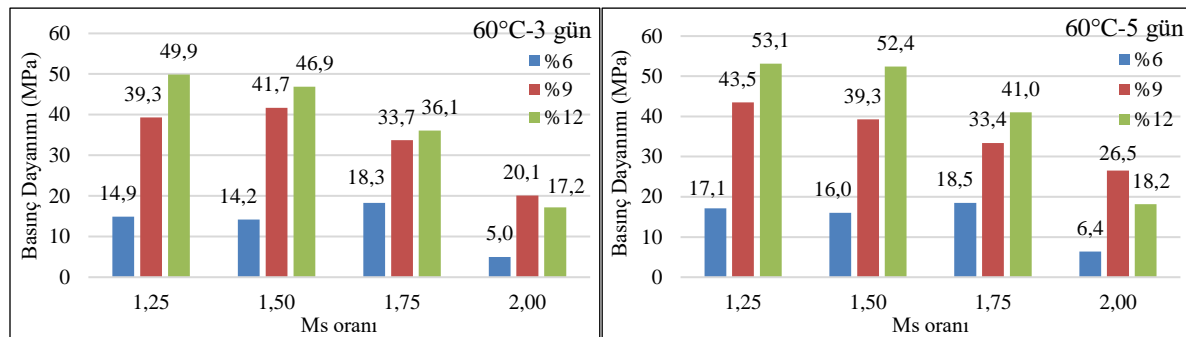


Şekil 4. 45°C'de etüvde kürlenen harç numunelerin basınç dayanımları / Compressive strength of mortar specimens oven-cured at 45°C

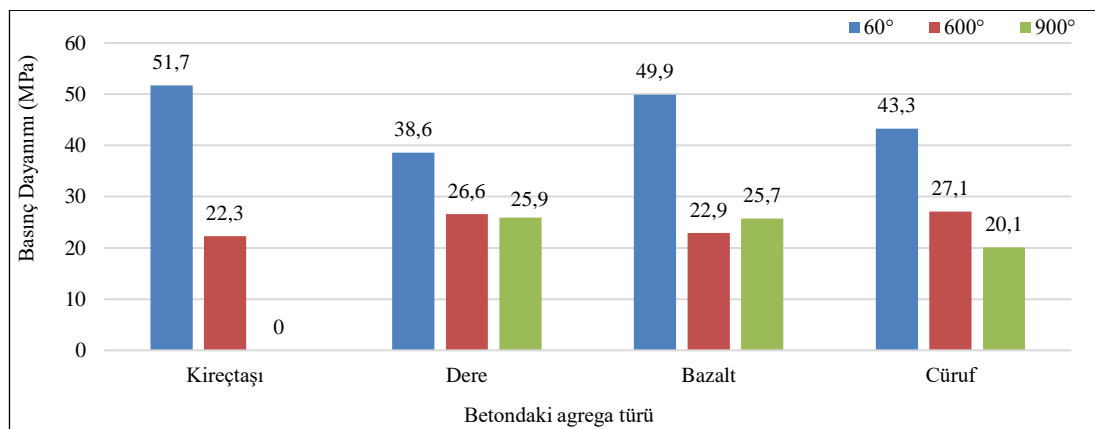
dekarbonizasyonu ve sonrasında bekletilme aşamasında kalsiyum oksitin, kalsiyum hidroksite dönüşümü sonucu ortaya çıkan genleşme olduğu düşünülmektedir. 900°C sıcaklık etkisinde, basınç dayanımı bakımından en olumlu performansı dere agregası göstermiştir. Dere agregası ile üretilen beton, 900°C sıcaklık etkisi ile basınç dayanımının %32.9'unu kaybederken bu değerler bazalt ve cürüf agregası ile üretilen betonlarda %48.5 ve %53.6 olmuştur.

Abdelalim vd. [25], iri agrega türünün geleneksel ve kendiliğinden yerleşen betonun YS direnci üzerindeki etkisini incelemiştir. Çalışma kapsamında en büyük tane boyutu 20 mm olan dere, dolomit ve bazalt agregası kullanılmıştır. 800°C'de 2 saat maruziyet sonrasında basınç dayanımları incelendiğinde, değerlerin yakın olduğu ancak en iyi sonucun dolomit agregası, en düşük dayanımın ise dere agregası ile hazırlanan betonlarda elde edildiği görülmüştür. Yapılan bu çalışmada, Abdelalim vd.'nin çalışmasından farklı olarak dere

agregası ile üretilen geopolimer betonların YS direncinin diğer agregalar ile üretilen betonlardan daha yüksek olduğu görülmüştür. Bu durumun, farklı bölgelerden temin edilen dere agregalarının fiziksel ve mineralojik özelliklerindeki farklılıklardan kaynaklandığı düşünülmektedir. Netinger vd. [26], geleneksel betonda dolomit ve iki farklı çelik cürüf aggregasının YS direncine etkisini incelemiştir. İnce agrega olarak dolomit, iri agrega olarak ise dolomit veya cürüf kullanılmıştır. Sonuçta, 800°C'de 1 saat maruziyet sonrasında dolomit agregası ile üretilen beton, basınç dayanımının %56'sını kaybederken bu değerler iki cürüf aggregasında %71 ve %73 olarak tespit edilmiştir. Cürüflü betonda iyi bir YS direnci elde edilememesinin, cürüfun termal genleşme katsayısının yüksek olmasından ve bu sebeple de agrega-hamur arayüzünün yüksek sıcaklık etkisi ile zarar görmesinden kaynaklandığı iddia edilmiştir. Sunulan bu çalışmada ise cürüf agregası, dere ve bazalt aggregasından daha kötü bir YS direnci performansı sergilese de 900°C'deki kayıp sadece %53.6



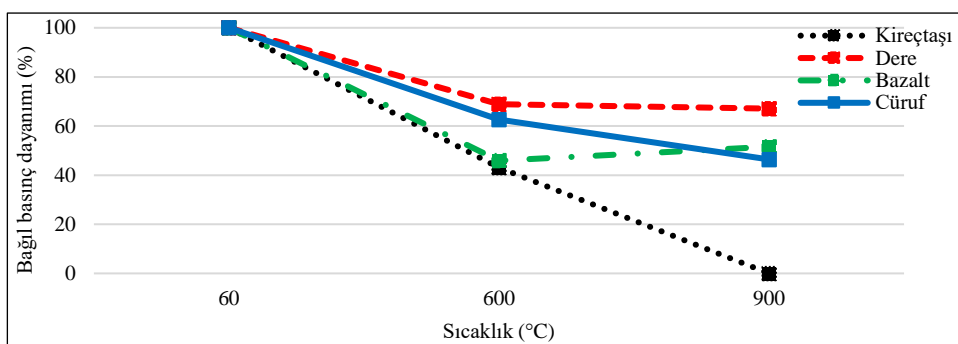
Şekil 5. 60°C'de etüvdde kırılan harç numunelerin basınç dayanımları / Compressive strength of mortar specimens oven-cured at 60°C



Şekil 6. 600 ve 900°C sıcaklığına maruz kalan geopolimer betonlarının basınç dayanımı / Compressive strength of geopolymers exposed to 600 and 900°C

mertebesindedir ve bu agrega ile üretilen geopolimer

uygun Ms oranının 1.25, en uygun Na₂O miktarının ise



Şekil 7. 600 ve 900°C sıcaklığı maruz kalan geopolimer betonlarının bağıl basınç dayanımları / Relative compressive strength of geopolymers exposed to 600 and 900°C

beton hala ciddi bir dayanım göstermektedir.



Şekil 8. 900°C sıcaklık etkisinden sonra farklı agregalar ile hazırlanan numuneler (a: kireçtaşısı, b: dere, c: bazalt, d: cüruf) / Specimens produced with different aggregates after exposure to 900°C (a: limestone, b: river, c: basalt, d: slag)

4. SONUÇLAR (CONCLUSIONS)

Bu çalışmada kullanılan malzeme ve deney yöntemleri göz önüne alındığında;

- Ortam sıcaklığında kürlenen F sınıfı uçucu kül esaslı geopolimer harçların dayanım kazanma hızlarının etüv kürüne göre düşük olduğu, 180 günlük kür süresinde bile maksimum 25 MPa civarında bir dayanım kazanılabildiği,
- Etüv kürlemesi yapılan geopolimer harçlarında, 60°C gibi nispeten düşük kür sıcaklıklarında ve 5 gün gibi kısa sayılabilcek bir kür süresinde (geleneksel çimento harcına kıyasla) 53.1 MPa gibi bir basınç dayanımının elde edilmesinin mümkün olduğu,
- Etüv kürü uygulanan numunelerde Ms oranının azalışı ve Na₂O yüzdesinin artışı ile ulaşılabilcek basınç dayanımlarının arttığı, basınç dayanımı açısından en

%12 olduğu,

- Farklı türdeki agregaların benzer geopolimer beton karışımlarında bile basınç dayanımını ciddi oranda etkileyebildiği, kireçtaşısı ve bazalt kullanılarak üretilen geopolimer betonların dayanımlarının dere agregası ve cüruf kullanılarak üretilenlerden daha yüksek olduğu,
- Kireçtaşısı kullanılarak üretilen ve 900°C etkisine maruz kalan geopolimer betonların yüksek sıcaklık deneyinin tamamlanmasından sonra tamamen parçalandığı; bazalt, cüruf ve dere agregası kullanılarak üretilen geopolimer betonların ise hem 600°C hem de 900°C etkisinden sonra bile dayanımlarının önemli bölümünü korudukları,
- Geopolimer matrisin 900°C gibi yüksek bir sıcaklıkta bile stabilitesini koruduğu ve parçalanmadığı tespit edilmiştir.

TEŞEKKÜR (ACKNOWLEDGEMENT)

Malzeme teminindeki yardımlarından ötürü Kılıçlar A.Ş'ye teşekkürlerimizi sunarız.

ETİK STANDARTLARIN BEYANI

(DECLARATION OF ETHICAL STANDARDS)

Bu makalenin yazarları çalışmalarında kullandıkları materyal ve yöntemlerin etik kurul izni ve/veya yasal-özel bir izin gerektirdiğini beyan ederler.

YAZAR KATKILARININ BEYANI (STATEMENT OF AUTHOR CONTRIBUTIONS)

Adil GÜLTEKİN: Makale yazımı, karışım tasarımlarının yapılması, laboratuvar çalışmasının gerçekleştirilmesi.

Hojjat HOSSEINNEZHAD: Karışım tasarımlarının yapılması, laboratuvar çalışmasının gerçekleştirilmesi.

Kambiz RAMYAR: Makale yazımı, deney planlaması, karışım tasarımlarının yapılması.

ÇIKAR ÇATIŞMASI (CONFLICT OF INTEREST)

Bu çalışmada herhangi bir çıkar çatışması yoktur.

KAYNAKLAR (REFERENCES)

- [1] Behforouz B., Balkanlou V.S., Naseri F., Kasehchi E., Mohseni E. and Ozbakkaloglu T., "Investigation of eco-friendly fiber-reinforced geopolymers incorporating recycled coarse aggregates", *International Journal of Environmental Science and Technology*, 17: 3251-3260, (2020).
- [2] Vikas G. and Rao T.D.G., "Setting time, workability and strength properties of alkali activated fly ash and slag based geopolymers activated with high silica modulus water glass", *Iranian Journal of Science and Technology, Transactions of Civil Engineering*, 45: 1483-1492, (2021).
- [3] Türkiye Çimento Sanayicileri Birligi, İstatistikler, <https://www.turkcimento.org.tr/tr/istatistikler/aylik-veriler>, (2021) Erişim tarihi: 15 Nisan 2021
- [4] International Energy Agency, Cement reports, <https://www.iea.org/reports/cement>, (2020). Erişim tarihi: 15 Mayıs 2021
- [5] Ng C., Alengaram U.J., Wong L.S., Mo K.H., Jumaat M.Z. and Ramesh S., "A review on microstructural study and compressive strength of geopolymers mortar, paste and concrete", *Construction and Building Materials*, 186: 550-576, (2018).
- [6] Kumar M., Saxena S.K. and Singh N.B., "Influence of some additives on the properties of fly ash based geopolymers cement mortars", *SN Applied Sciences*, 1: 481, (2019).
- [7] Morsy M.S., Alsayed S.H., Al-Salloum Y. and Almusallam T., "Effect of sodium silicate to sodium hydroxide ratios on strength and microstructure of fly ash geopolymers binder", *Arabian Journal for Science and Engineering*, 39: 4333-4339, (2014).
- [8] Joseph B. and Mathew G., "Influence of aggregate content on the behavior of fly ash based geopolymers concrete", *Scientia Iranica*, 19(5): 1188-1194, (2012).
- [9] Lloyd N.A. and Rangan B.V., "Geopolymer Concrete with Fly Ash", *Second International Conference on Sustainable Construction Materials and Technologies*, Ancona, Italy, (2010).
- [10] Kushnir A.R.L., Heap M. J., Griffiths L., Wadsworth F.B., Langella A., Baud P., Reuschle T., Kendrick J.E. and Utley J.E.P., "The fire resistance of high-strength concrete containing natural zeolites", *Cement and Concrete Composites*, 116: 103897, (2021).
- [11] Junaid M.T., Khennane A. and Kayal O. "Performance of fly ash based geopolymers concrete made using non-pelletized fly ash aggregates after exposure to high temperatures", *Materials and Structures*, 48: 3357-3365, (2015).
- [12] Sanket R., Aniruddha T., Bahurudeen A. and Appari S., "Performance of concrete during fire exposure-a Review", *International Journal of Engineering Research & Technology (IJERT)*, 4(3): 1-8, (2016).
- [13] Metha P.K. and Monteiro P.J.M., "Concrete, Microstructure, Properties and Materials", Third edition, McGraw-Hill Education, New York, USA, (2006).
- [14] Neville A.M., "Properties of Concrete", Fifth edition, Pearson, India, (2013).
- [15] Broceta G., MaleSev M., Radonjanin V., Slijepcevic M. and Zrnic D., "The influence of aggregate types on the concrete fire resistance", *1st International Symposium Knowledge For Resilient Society K-FORCE 2017*, Novi Sad, Serbia, (2017).
- [16] Şahin F., Uysal M. and Canpolat O., "Systematic evaluation of the aggregate types and properties on metakaolin based geopolymers composites", *Construction and Building Materials*, 278: 122414, (2021).
- [17] Kong D.L.Y. and Sanjayan J.G., "Effect of elevated temperatures on geopolymers paste, mortar and concrete", *Cement and Concrete Research*, 40: 334-339, (2010).
- [18] TS EN 459-2, "Yapı kireci - Bölüm 2: Deney metodları", (2012).
- [19] TS EN 12350-6, "Beton - Taze beton deneyleri - Bölüm 6: Birim hacim kütlesi", (2019).
- [20] TS EN 12350-2, "Beton - Taze beton deneyleri - Bölüm 2: Çökme (slump) deneyi", (2019).
- [21] Cho Y.K., Yoo S.W., Jung S.H., Lee K.M. and Kwon S.J., "Effect of Na₂O content, SiO₂/Na₂O molar ratio, and curing conditions on the compressive strength of FA-based geopolymers", *Construction and Building Materials*, 145: 253-260, (2017).
- [22] Bocullo V., Vitola L., Vaiciukyniene D., Kantautas A. and Bajare D., "The influence of the SiO₂/Na₂O ratio on the low calcium alkali activated binder based on fly ash", *Materials Chemistry and Physics*, 258: 123846, (2021).
- [23] Saloma, Hanafiah, Elysandi D.O. and Meykan D. G., "Effect of Na₂SiO₃/NaOH on mechanical properties and microstructure of geopolymers mortar using fly ash and rice husk ash as precursor", *Proceedings of the 3rd International Conference on Construction and Building Engineering (ICONBUILD)*, Palembang, Indonesia, (2017).
- [24] Doğan-Sağlamtimur N., Öz H.Ö., Bilgil A., Vural T. and Süzgeç E., "The effect of alkali activation solutions with different water glass/NaOH solution ratios on geopolymers composite materials", *Materials Science and Engineering*, 660: 012003, (2019).
- [25] Abdelalim A.M.K., Abdel-Aziz G.E., El-Mohr M.A.K. and Salama G.A., "Effect of aggregate type on the fire resistance of normal and self-compacting concretes", *Engineering Research Journal*, 122: 47-62, (2009).
- [26] Netinger I., Bjegovic D. and Mladenovic A., "Fire Resistance of Steel Slag Aggregates Concrete", *High Temperature Materials and Processes*, 29: 77-87, (2010).